

## 振動による飽和砂の液化に対する載荷量の影響について

山口大学工学部 正員 大原資生  
学生員 鈴岡直彦

1. 諸言 飽和した中の砂が振動によって液化するという現象は最近では新潟地震、アラスカ地震の際に大規模に生じ、大玉を被覆とひきおこしたことは報知のところである。

この現象については H.B. Seed らの研究をはじめとして多くの研究がなされているが、その実験的研究の方法としては Seed らが行った動的單純せん断試験による方法や動的三軸試験による方法が主として用いられている。その理由はこれららの試験機を用いたときにあって供試体に作用する有効圧や動的せん断力および供試体のせん断変位等を簡単に、また確実に規制して実験を行なうことができるからである。この方法と比較して振動台上の砂箱の中に飽和砂をつめて振動を与えて液化を生じさせる方法があるが、この方法は砂自体を一つの縮少エッセル砂皿盤のモデルと考え、振動による砂の深土方角の応答や間隔と水孔分布等を把握できるという利点があるかないに、前者の方法にくらべて砂の有効圧等の規制が困難であるという欠点がある。われわれはこの点について飽和砂の表面に空気圧による上載荷量を加えるという特殊な方法を用いて砂の有効圧を規制して振動台による砂の液化現象に関する実験を行なった。その方法および結果について述べる。

2. 試料 この実験では平均粒径の異なる二種類の砂が用いられた。それらの諸常数および粒度分布は表-1、図-1に示す。この二種類の砂を砂箱につめ飽和砂を作りには次のようないふ法をとった。まずあらかじめ計算した砂の間隔を量に相当する水を入れた砂箱に、バケツに入れた約 250 kg の砂をフーレーンにより砂箱上約 30 cm の高さに吊上げ、下の口を開けて静かに水中に落とした。

このようにしてつめられた砂の間隔比は細砂で 0.86、粗砂で 0.83 であった。

表-1 実験砂の諸常数

	細砂(豊浦砂)	粗砂(新宮砂)
平均粒径 $D_{50}$	0.23 mm	0.85 mm
均等係数	1.44	1.35
最大間隔比	1.06	0.89
最小間隔比	0.68	0.56
内斜率 $i$	$42^\circ (e=0.85 \text{ とき})$	$36^\circ (e=0.82 \text{ のとき})$
透水係数	$1.2 \times 10^{-2} \text{ cm/s} (e=0.8)$	$6.9 \times 10^{-2} \text{ cm/s} (e=0.78)$
土粒子の比重	2.63	2.64

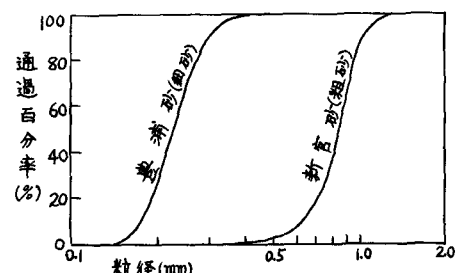


図-1 粒度分布

3. 実験装置 振動台は載荷面積  $1 \text{ m} \times 1 \text{ m}$  で許容荷載荷量は  $500 \text{ kg}$  である。振動台の振動数と振幅は振動中に連続的に変化である。今回の実験では振動数は  $4 \text{ CPS}$  で実験を行ない、所定の加速度は振幅を変化させてことによって与えられる。砂箱は内寸法が幅、長さ、深さが  $58 \text{ cm} \times 100 \text{ cm} \times 30 \text{ cm}$  の鋼板製で、振動方向に直角な一側壁の中央部の高さ  $5 \text{ cm}$ ,  $15 \text{ cm}$ ,  $25 \text{ cm}$  の位置に間隔を水孔測定のための圧力計がとりつけである。この圧力計はもともと土圧計として使用しているもので、土圧面のたわみ量を電気抵抗線ひずみゲージによって測定する型のもので、土圧面の直径は  $5 \text{ cm}$  である。この土圧面の前に

真鍮製のフィルターをかけて砂粒の間げき水压のみを測定するようにして使用した。すなはち、砂箱の振動方向に平行な側壁の中心線上の深さ15cmの位置に排水孔を設けて、砂粒に載荷重が加わったときに生じる間げき水压を測定する。

この実験では砂箱内に作られた砂粒の有効圧を規制するためには砂粒の表面に載荷重を加えることを考慮した。その方法は次のとおりである。

砂箱の上端子で飽和砂が詰められたならば、その上に厚さ1mmのやわらかいゴム膜をして、周囲にゴムハーフキンをして、上から蓋をかぶせて砂箱とボルトで緊結する。ゴム膜と蓋との間に圧縮空気を送りこむ。

その空気圧によって砂粒に載荷重が加えられる。図-2はその概略図である。

振動台の加速度および間げき水压変化はすべてひずみ計を通して電磁オシロに同時に記録される。

4. 実験方法 前述のように、所定の空気圧によって載荷する。このとき、砂粒内には過剰間げき水压が発生する。ここで排水孔を開いてこの過剰間げき水压がなくなるまで、すなはち各深さの間げき水压の値がその深さの静水压に等しくなるまで砂粒内の間げき水を排水する。この排水量は規定された圧縮による間げき比の縮少量の計算に用いられた。

圧密が完了し所定の有効圧が載荷された後に振動台が駆動される。そのときの加速度の与え方は次の2通りとり、各載荷量ごとに実験が行なわれた。

(1). 砂粒に与える加速度を一定の増加速度(この実験では0.057 g/s)で増加していく、砂粒が液化した時点での加速度の増加をやめ、その後はそのままの加速度で20秒間振動を継続する。

(2). 砂粒にあらかじめ定めた一定値の加速度の振動を液化がおこるまで継続して加え、液化がおこった後も20秒間は振動を継続する。

すなはち(1)の実験は液化を生じる振動加速度と有効圧との関係をしらべるために行なわれたもので、(2)の実験では(1)の実験によって確定された液化を生じる加速度の80%, 60%, 40%の加速度の振動を与えた場合に液化がおこるまでの時間が測定された。

5. 実験結果およびその考察 図-3はこの実験のオシログラフの記録の例を示したものである。

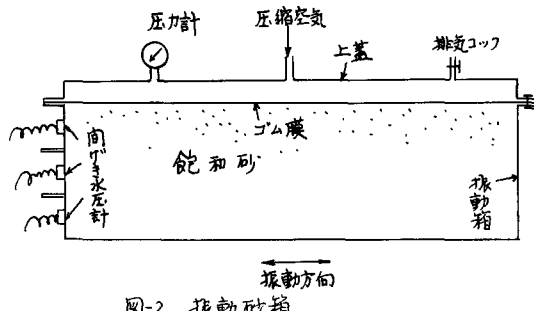


図-2 振動砂箱

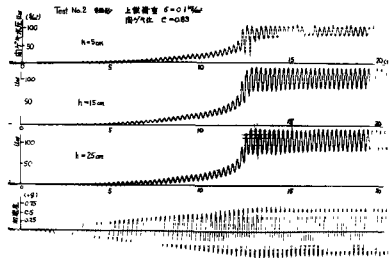


図-3(a) 実験記録

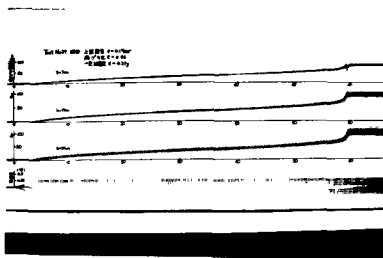


図-3(b) 実験記録

図-3(a), (b)はそれそれぞれ前述の(1)および(2)の実験で得られたものである。これらの記録の中から

記録紙は上から順に深さ 5, 15, 25 cm の深さの間隔で水压変化および振動台の加速度を示している。

図3(a)では振動台の加速度の増大とともに砂層の間隔と水压および水压振幅が増大していくが、ある加速度に達すると間隔と水压の急速な増大がみられる。この際に液化が生じたと判断できる。

図3(b)では振動台の加速度一定の状態で振動を継続しているにもかかわらず砂層の間隔と水压はほぼ一定の速度で上昇をつづけた後、ある瞬間に急速な間隔と水压の増大、すなわち液化が生じることが認められる。これらの記録と解析して液化の生じる加速度、液化現象の生じる直前の間隔と水压および液化を生じるに必要な加速度と振動継続時間の関係等をえた。

5.1 液化の発生条件 ゆるい砂では振動をうけてせん断変形を生じる際にダイレクタンシーの影響を受け、間隔と縮少の傾向を生じ、そのため間隔と水压が上昇する。間隔と水压への上昇は有効圧の減少となり砂層のせん断強度は減少する。そしてついに砂層のせん断強度が地震による砂層の励起せん断力に著しくなったときに液化が生じるのであろうと考える。そこで液化が生じる直前の条件としては次式を考えることができる。

$$T_a = (\bar{u}_v - u_w) \tan \phi \quad (1)$$

すなわち、 $T_a$ は振動によって砂層中に生じるせん断力で、 $\bar{u}_v$ は砂層に加わっている有効圧、 $u_w$ は間隔と水压、 $\phi$ は砂の内部まくら角である。

この実験では、 $T_a$ は振動台の加速度に比例すると考えられるので、図3に示した記録から液化直前の間隔と水压値(液化直前の水压振幅の中点の示す値) $u_w$ を求め、そのときの震度 $\alpha$ と $(\bar{u}_v - u_w)$ の関係を求めたのが図4である。両者の間にほんの直線的な関係があることがわかり、液化の条件として(1)式が成立することを裏付けているものと考えられる。なお、図4の測定値は砂層の深さ 5, 15, 25 cm の点の値をすべてプロットしたものである。

三軸によれば細砂、粗砂の内部まくら角はそれそれぞれ  $42^\circ$ ,  $36^\circ$  である。粘着力は両砂ともほとんどない。

図4の結果から(1)式を用いて砂層内の砂層に生じる $T_a$ と震度 $\alpha$ との関係を求めるこ

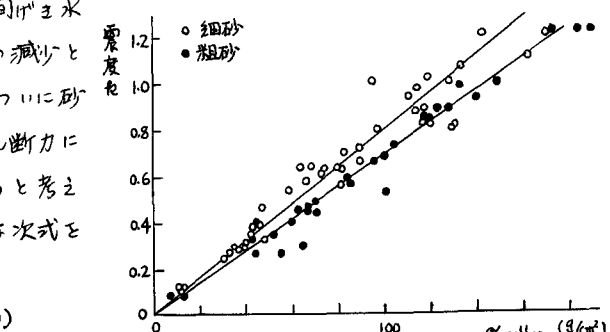


図4 液化直前の有効圧と震度の関係

△  $\sigma = 0.3 \text{ kg/cm}^2$   
●  $\sigma = 0.2 \text{ kg/cm}^2$   
○  $\sigma = 0.1 \text{ kg/cm}^2$

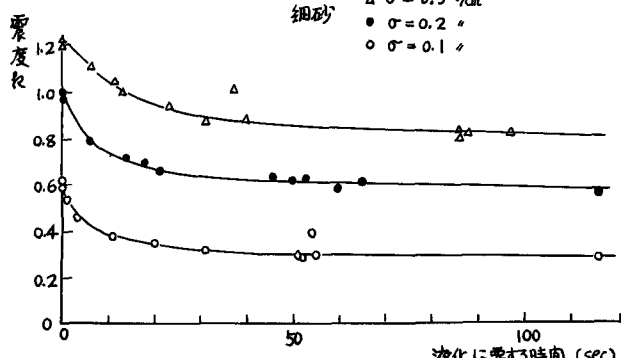


図5(a) 液化に要する時間と震度の関係(細砂)

△  $\sigma = 0.3 \text{ kg/cm}^2$   
●  $\sigma = 0.2 \text{ kg/cm}^2$   
○  $\sigma = 0.1 \text{ kg/cm}^2$

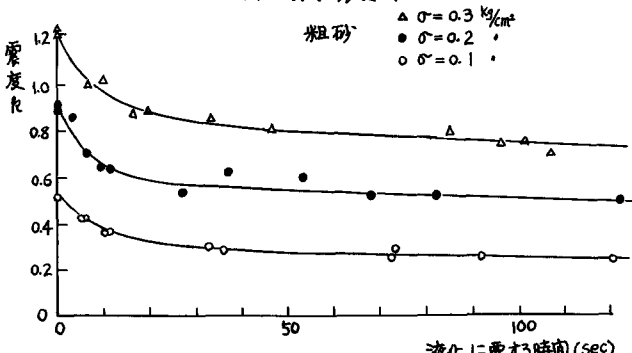


図5(b) 液化に要する時間と震度の関係(粗砂)

次式となる。

$$\begin{aligned} \text{細砂: } T_d &= 115 \text{ k} (\text{kg/cm}^2) \\ \text{粗砂: } T_d &= 106 \text{ k} (\text{kg/cm}^2) \end{aligned} \quad \left. \right\} (2)$$

## 5.2 液化の発生に要する振動継続時間

時間 次に(2)の実験から得られた載荷量、震度および液化に要する時間の関係を示すと図-5のようになる。

図-5(a)が細砂、図-5(b)が粗砂についての結果である。この結果から砂層の液化が(1)砂に作用する有効圧、(載荷量) $\bar{\sigma}_v$ 、(2)砂層に作用する加速度(震度 $\bar{a}$ )、すなわち励起せん断力 $T_d$ 、(3)振動の継続時間 $t$ の3要素に大きく支配されることがわかる。

具体的には飽和砂の液化は有効圧の大小によらず、励起せん断力の大きいほど、振動継続時間の長いほどおこりやすいといふことがわかる。この結果は H.B. Seed らの指摘したところ一致する。

図-5の結果から図-6を作成する。継軸 $T_d/\bar{\sigma}_v$ の値を求めるには(2)式の関係を利用。図-6にはいくらかのバラツキはあるが、 $\bar{\sigma}_v$ の異なる実験値が一本の線上まとまつており、 $T_d/\bar{\sigma}_v$ が液化の発生に関する重要な指標となるということがわかる。このことは紫田氏らによっても指摘されている。図-6から液化を生じるに必要な $T_d/\bar{\sigma}_v$ の値は七が無限大となるときの値として求められ、細砂では 0.30、粗砂では 0.25 となる。この結果は粗砂の方が液化しやすくなることを意味する。

5.3 液化に対する間げき比の影響 この実験では砂層の間げき比を大きくやえることによって出来なかつたが、砂層の初期間げき比と液化直前の間げき水圧との関係を求めると図-7のようになる。およそその傾向としては間げき比の大さい場合が間げき水圧が小さくなっているのである。液化をおこしやすくなる傾向が見えてる。このことはゆるい砂層では水中単位重量、内部モーメント角からくることによる原因であろう。

6. 結論 以上の結果から次の結論となる。(1) 地震時の飽和砂の液化には①有効元 $\bar{\sigma}_v$ 、②励起せん断力 $T_d$ 、③振動継続時間 $t$ の3要素が支配的であることが確かにされる。(2) 液化条件は $T_d = (\bar{\sigma}_v - \bar{a}_v) \times t \times m$  と表される。但し  $m$  は間げき水圧、中は内部モーメント角である。(3) 一定加速度の振動をうけている状態では液化に要する振動継続時間は $T_d/\bar{\sigma}_v$ によつて定まる。(4)  $T_d/\bar{\sigma}_v$ の値はそれがどの砂の間げき比や強度特性によって定まるであろう。

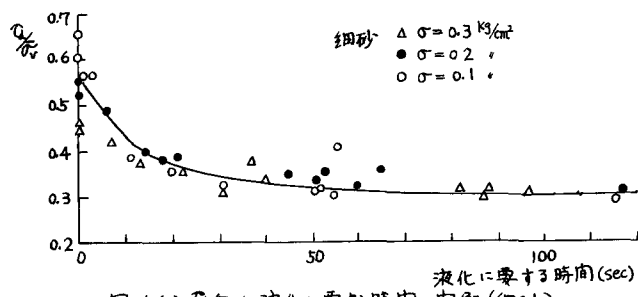


図-6(a)  $T_d/\bar{\sigma}_v$  と液化に要する時間の関係(細砂)

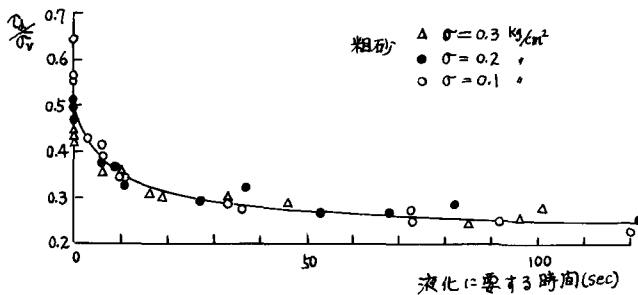


図-6(b)  $T_d/\bar{\sigma}_v$  と液化に要する時間の関係(粗砂)

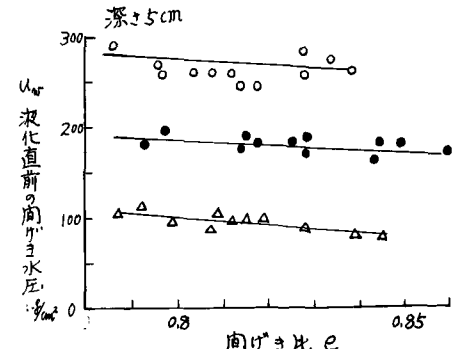


図-7 液化についての間げき比の影響